

(1977. 9. 9)

## 性能評価用ツール QM-1について

紀一誠, 本郷喜裕, 松田敏男  
(日本電気 第1システム支援部)

## 1. はじめに

性能評価技術は技術の発展としてはほぼ出揃って来ており、今後は現実の場への適用を通じて新しい展開を行なっていかることが重要である、とされていく。<sup>(9)</sup>

しかし、評価の必要性を生み出すコンピュータの世界は複雑怪奇であり、そこに携わる人々の数も膨大なものである。従って、一口に性能問題といつても各人の关心の在り方や議論の視点・立場もさまざまあり、必ずしも一致した認識が得られていくとも言い難いのが実情とみえる。

日々の性能評価技術は方法論的に吟味され、現場での検証に耐え、次第に淘汰体として統一された認識へと発展していくものであらうが、そこに至るにはまだ多くの年月と努力を要するようと思われてならない。

本稿はシステムの動的性能を把握することを目的とした性能評価用ツール QM-1について述べたものである。

QM-1 の作成意図は第 1 番的には現場での使用に耐え得る実用的な性能評価ツールを用意することであるが、ツールを提供することによつて現場における性能評価作業に多少なりとも統一的な手掛りを示せざら望外の成果である。

QM-1 は社内のシステム・エンジニア(SE) 向けの汎用性能評価ツールである。必ずしも性能評価作業に熟達しているとは限らない各 SE が自分の担当するシステムに適しての必要な性能評価指標を手軽に算出するためのツールであり、実体は FORTRAN で記述されたプログラムである。

QM-1 は解析型のツールである。即ち、性能評価用の数学モデルを作りこの解をプログラム化したもので、モンテカルロ型のシミュレーションを行なつてゐるわけではない。QM-1 の基礎をなすのは T. L. Saaty の機械修理工問題<sup>(1)</sup>である。これを 2. で示す。しかし、このモデルとのままで性能評価用モデルとしては不充分であり、不足な部分を補うためいくつかの概念を持ち込まねばならない。この補足と拡張の内容を 3. で示す。2. で示されたモデルに 3. で示した補足拡張を行なった結果再構築されたモデルを 4. に示す。4. の内容をプログラム化したものが QM-1 である。

解析型の性能評価ツールは今までに QNET<sup>(6)</sup>, ATOM<sup>(4)</sup>, CQNM<sup>(5)</sup> 等各々特徴のある興味深い報告がなされてゐる。QM-1 は根柢としている数学モデルがこれらの中のとは異なるところがある。

本モデルはもともと日本電信電話公社の TSS サービスである DEMOS の性能評価の際の解析モデルとして誕生したもので、'71～'72 年に行なつた実測実験結果との照合を行ない比較的良い結果を得たものである。<sup>(3)</sup> その後マルチプロセッサ・システム(MIPS)で生ずる主メモリ競合による性能低下の推定に応用した。<sup>(2)</sup> しかし、實際のシステム評価に応用するには数値計算が複雑に過ぎ、m や c の値を現実的なものにするとすぐに入卓計算の範囲を越えてしまうため実用上は難点があつた。今回のツールではこの難点を解消することが大きなねらいである。

## 2. T. L. Saaty の機械修理工モデル

QM-1 の基礎をなす T. L. Saaty の機械修理工モデルについて説明し、Saaty の導いた

諸式を示す。(文献(1)参照) 図1 参照。

$m$ 台の機械があり、各機械は異なる  $c$  種類の故障を起こす。機械修理工は  $C$  人居り、各人は1種類の故障しか修理できない。故障した機械は修理工に修理してもらうが、先着の故障機械が既にあれば待ち合せに入る。修理工は先着順に修理する。故障した機械は修理するのに要する時間はパラメータ  $\mu_i$  (1/秒) を  $c$  指数分布に従うものとする。また、各機械の故障の発生分布はパラメータ  $\lambda_i$  (件/秒) なるボアソン分布に従うものとする。

$(m_1, m_2, \dots, m_c)$  を故障  $i$  を  $m_i$  台の機械が起こしている状態とし、その定常状態確率を  $P(m_1, m_2, \dots, m_c)$  とする。

Saaty は定常状態における平衡方程式を作り、これを解いて以下の諸式を得ている。(表現は原文のまま)

$$P_i = \lambda_i / \mu_i, \quad m = \sum_{i=1}^c m_i, \quad F(P_i, m) = 1 + m P_i + m(m-1) P_i^2 + \dots + m! P_i^m$$

$$P(m_1, m_2, \dots, m_c) = \frac{m!}{(m-m)!} \prod_{i=1}^c P_i^{m_i} P(0, 0, \dots, 0)$$

$$P(0, 0, \dots, 0) = \sum_{i=1}^c P_i^{c-1} F(P_i, m) / \prod_{\substack{i=1 \\ i \neq j}}^c (P_i - P_j)$$

$$\text{平均稼働機械台数 } E(m-m) = m \sum_{i=1}^c \frac{P_i^{c-1} F(P_i, m-1)}{\prod_{\substack{i=1 \\ i \neq j}}^c (P_i - P_j)} P(0, 0, \dots, 0)$$

Machine availability

$$E(m-m) [P(0, 0, \dots, 0)]^2 / m$$

(以上)

### 3. モデルの拡張

2. 述べた機械修理工モデルを性能評価用モデルに拡張し、不足な部分を補ない適用化を考える。そのためには次の2つの作業が欠かせない。

A). モデルを使用する人が住んでいるコンピュータの世界の用語や概念にモデルをなじませること。入力となるパラメータ  $\lambda_i, \mu_i$  は利用者から見ればわざりにくくまた決めにくくパラメータになるのが直接指定させるのは不適切である。こまに替る入力パラメータとして日常なじみ深い JDB(あるいは電文)当たりの各資源の保留時間  $\{R_i\}$  (秒/JDB) 及び JDB 处理件数  $\{N_i\}$  (件/秒) を直接入力できるようにする。

そのためには呼空隙時間の概念を持込み、負荷を呼隙呼量としてみる概念の拡張が必要である。

B). 機械修理工モデルに欠ける点を補うこと。

2. 導かれた諸式の中には性能評価上の重要な指標である各資源の使用率  $a_i$  や資源の待ち時間  $w_i$  の算出式が欠けているのでこれを求める。また2.のモデルから直接にそのシステムの最大処理件数  $N_{max}$  を求めることがないが、この算出式を該モデルの極限型モデルとして導く。

上記 A), B) の作業を進める上の基本的な考え方を以下に示す。

まず用語は次の如くに読み換える。機械修理工はシステム内に存在する各種資源、即ち CPU 装置、DISK 装置(い)、---、等と思ひ込も。故障はこれらの各資源

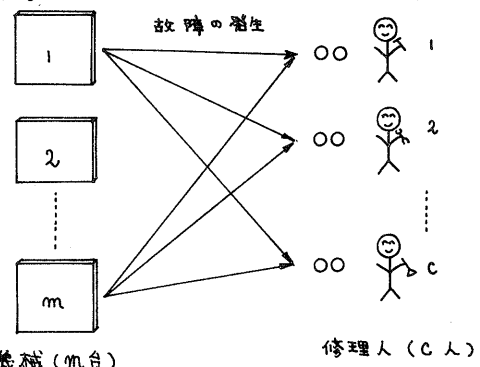


図1. 機械修理工モデル

源に対して發せられる使用要求にならえられる。この使用要求のことをトラフィック理論に従い“呼”とよぶことにする。機械は各システム資源に呼を發する呼源とみなせる。奥システムでは呼源をマルチプロセッシングの最大負荷度にみたてる。

入力パラメータ設定の考え方を次に示す。一般にシステムの性能評価の出発点は、まず利用者習性と負荷状況を調査し、それに基いてJDB(電文)の処理を分析し、負荷の単位となる平均的なJDB(電文)の処理パターンを構成する事から始まる。即ち、JDB当たりに使用するCPU時間や各種入出力装置に対する入出力発生回数等を基礎データとして見積ることに始まる。

今、パラメータ  $R_i$ ,  $l_i$  を次の如くに定義しておく。

$R_i$  : JDB(電文)当たりに使用する資源  $i$  の総保留時間 (秒/JDB)

$l_i$  : JDB(電文)当たりの資源  $i$  の総使用回数 (回/JDB)

モデル上の  $R_i$  は直に解釈すれば資源  $i$  の 1 回当たりの保留時間の逆数である。

即ち、 $R_i = l_i / R_i$  である。 $R_i$  を入力パラメータにすると  $R_i$ ,  $l_i$  の両者が基礎データとして見積られていなければならぬことになる。しかし、例えば、CPU 資源についてみればこの  $l_i$  の見積りは實際にはすこぶる困難である。 $l_i$  は 1 JDB 当たりのディスパッチング回数、割り込み回数、--- 等 CPU の制御の切れ目を数えあげねばならない。しかし、次の点に注意されば  $l_i$  は議論の本筋とは無関係なパラメータであることが理解される。

1 JDB 当たりの資源  $i$  の 1 回当たり待ち時間  $\hat{W}_i$  を  $\hat{W}_i = l_i \cdot \hat{w}_i = l_i \times (\text{定数}) / R_i = R_i \times (\text{定数})$  とすれば次の関係が成り立つ。

このためには  $\hat{w}_i$  は資源  $i$  の本質的性質を考慮したための一工夫が必要となる。このために呼空隙時間なる概念をトラフィック理論から借用し、 $\hat{w}_i$  を呼源呼量と考えることにする。

$\hat{w}_i$  を入力とすることにより JDB の概念を入力とすることになる。(機械の故障間隔に相当する。)  $l_i$  は確率変数であるが、その期待値を  $l_i'$  とする。定義より、 $l_i = l_i' / u$  なる関係が成り立つ。また、 $R_i = l_i / R_i$  であるから、 $R_i = l_i' / R_i = R_i / u$  なる関係にある。よって、資源の保留回数  $l_i$  は表面には出て来ない。代りに平均呼空隙時間が現われて来る。

これは JDB 処理(割り振り)件数  $\lambda$  (件/秒) が定まれば定まる値である。

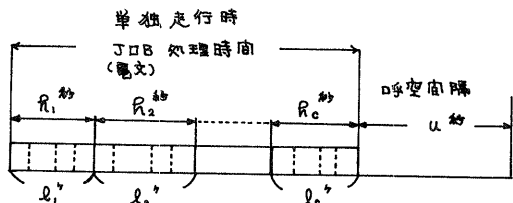
よって、利用者に見せる入力パラメータとしては、JDB 特性を定め及ぶ JDB 処理件数  $\lambda$ 、資源総数  $C$ 、マルチプロセッシング最大負荷度  $M$  になる。

この時、各資源の使用率  $\alpha_i$ 、待ち時間  $W_i$ 、JDB 処理時間、平均マルチプロセッシング負荷度等を計算し出力するようになる。

また、 $\lambda$  を指定せざるに、 $C$ ,  $M$ ,  $\hat{w}_i$  のみを指定した場合には後に述べた極限型モデルを用いて、このシステムが処理すべき最大処理件数  $\lambda_{max}$  (件/秒) を上記指標と共に計算し出力する。

以下に、2. のモデルに対して算者が拡張補足を加えた点をまとめておく。

① 呼空隙時間及び JDB(電文)なる概念を持ち込み、 $\hat{w}_i$  を呼源呼量と見えた事により、入力パラメータを  $C$ ,  $M$ ,  $R_i$ ,  $l_i$



$R_i$  : 資源  $i$  総保留時間 / JDB(電文)

$l_i$  :  $\lambda$  総保留回数 / JDB(電文)

図 2 呼源呼量と呼空隙時間

という理解しやすいものに変えた。

- ② 任意の処理件数  $N$  を指定された時の諸量が求められるようにした。
  - ③ 資源  $i$  の使用率  $\alpha_i$  を求める計算式を導いた。
  - ④ 資源  $i$  の待ち時間  $W_i$  を求める計算式を導いた。
  - ⑤ 空閑時間  $w$  ,  $w \rightarrow 0$  として極限型モデルを導き、これによりシステムの最大処理件数  $N_{\max}$  を求める計算式を導いた。

#### 4. モデルの再構成

2. 2. “示したモ”ルに3. 2.述べた拡張を行ひ、QM-1を実現するに必要なモ”ルを以下に再構成する。

$m$  : 呼源数 (マルチログラミングの最大多重度)

C : システム内に存在する資源総数

凡ての機器は、1 JCB(電文)当たりの資源消費の総保留時間

： 328 ( 電文 ) 例題 ( 到着 ) 件数

### u : 平均呼空隙

① 気内呼数の定常分布  $P(m_1, m_2, \dots, m_c)$

$$P(m_1, m_2, \dots, m_c) = \frac{m!}{(cm-m)!} \prod_{i=1}^c m_i^{n_i} P(0, 0, \dots, 0) \quad , \quad m = \sum_{i=1}^c m_i$$

$$P(m) = P(0, 0, \dots, 0)^{-1} = \sum_{n=0}^m \frac{m!}{(m-n)!} \prod_{i=1}^c P_i^{m_i}$$

$$= 1 + m K(1) + m(m-1) K(2) + m(m-1)(m-2) K(3) + \dots + m! K(m)$$

$$K(l) = \sum_{m_1 + \dots + m_c = l} \prod_{i=1}^c P_i^{m_i} = \sum_{m_1=0}^l \sum_{m_2=0}^{l-m_1} \dots \sum_{m_c=0}^{l-(m_1+\dots+m_{c-1})} P_1^{m_1} P_2^{m_2} \dots P_c^{m_c}$$

② 1 JOB(電文) 当りの 清潔 の 待ち時間  $W_1$

$\phi(m_1, m_2, \dots, m_r)$  を呼の出合う確率とする。<sup>(8)</sup> 即ち、呼の発生直前時刻  $t$  資源  $i$  を保留中又は待合中の呼数が  $m_i$  である確率とする。また、 $C_i$  を資源  $i$  に対する生起呼数密度とす。  $m = \sum_{i=1}^r m_i$ ,  $m \leq m-1$  に注意して次式を得る。

$$C_i = \sum_{n=0}^{m-1} (m-n) \pi_i P(m_1, m_2, \dots, m_c)$$

従つて、単位時間当たりに発生する全資源要求回数  $C_0$ 、即ち  $C_0 = \sum_{i=1}^c C_i$  を考え、この中で状態  $(m_1, m_2, \dots, m_c)$  に出会うものを考えるとき次式により算えられる。

$$(m - m) (\lambda_1 + \lambda_2 + \dots + \lambda_c) P(n_1, m_2, \dots, m_c)$$

従つて、以下の式を得る。

$$f(m_1, m_2, \dots, m_c) = (m - m)(\lambda_1 + \lambda_2 + \dots + \lambda_c) P(m_1, m_2, \dots, m_c) / C_m$$

$$= \frac{(m-1)!}{(m-1-n)!} \prod_{i=1}^n P_i^{m_i} f(0, 0, \dots, 0)$$

$$f(0, 0, \dots, 0) = 1 / P(m-1)$$

状態 ( $M_1, M_2, \dots, M_a$ ) に出会った時は平均  $m_i/M_i$  (秒) 待ち合せならばならないことより、JTB(電文)当りの資源  $i$  の述べ待ち時間  $W_i$  を次式により得る。

$$W_i = \sum_{m_1=0}^{m-1} \sum_{m_0=0}^{m-1} \{ n_i R_i f(m_1, m_2, \dots, m_e) \}$$

$$= \frac{R_i}{P(m-1)} \{ P_i(m-1) P(m-2) + P_i^2(m-1)(m-2) P(m-3) + \dots + P_i^{m-1}(m-1)! P(0) \}$$

### ③ 丁口B (藝文) 处理時間 T(m)

多重走行時には GDB(電気)処理時間は単独走行時に較べて各資源の待ち時間の和の分だけの倍<sup>3</sup>。 TCMは次式に従り与えられる。

$$T(\mathbf{m}) = \sum_i^c (f_i + w_i)$$

$$= \sum_{i=1}^m R_i \{ P(m-i) + P_i(m-1)P(m-2) + P_i^2(m-1)(m-2)P(m-3) + \dots + P_i^{m-1}(m-1)!P(0) \} / P(m-1)$$

④ 各資源  $i$  の 使用率  $\alpha_i$

$$\alpha_i = c_i / \mu_i = P_i \sum_{n=0}^{m-1} (m-n) P(m_1, m_2, \dots, m_n)$$

$$= P_i m P(m-1) / P(m)$$

⑤ 平均マルチプロセラミング率  $E$

$$E = m - \sum_{n=0}^{m-1} (m-n) P(m_1, m_2, \dots, m_n)$$

$$= m \cdot 1 - P(m-1) / P(m)$$

⑥ 平均呼空間隔  $u$  と  $E$  の関係

$$E = mu / \{ T(m) + u \}$$

⑦ JDB(電文)処理件数  $v$  と  $E$  の関係

$$E = v T(m)$$

⑧  $T(m)$ ,  $P(m)$  の計算法

QM-1 では、 $T(m)$ ,  $P(m)$  を次なる漸化式が成り立つ。そこで利用して順次求めることを採用している。即ち、 $l = 1 \sim m$  に対して次なる関係が成り立つ。

$$P(0) = 1, \quad P(l) = P(l-1) \{ 1 + T(l) / u \}$$

$$T(l) = \sum_{i=1}^l R_i \{ P(l-i) + P_i(l-1)P(l-2) + P_i^2(l-1)(l-2)P(l-3) + \dots + P_i^{l-1}(l-1)!P(0) \} / P(l-1)$$

⑨  $v$  と  $m$  の関係

以上の諸式には  $u$  がパラメータとして含まれる。 $u$  は入力パラメータによつて定まる値である。 $v$  を知り  $u$  を求める方法を以下に示す。(図3.) 参照。

関係 ⑥, ⑦ より、 $T(m) = -u + m/v$ 。一方、 $T(m)$  は ⑨ に示された関係があり、 $P_i = R_i/u$  より  $u$  の関数と見ることができる。この 2 式を連立させて  $u$  を求めればよいわけだが、これは  $m$  次の代数方程式になり一般には解けない。従って、QM-1 ではこの 2 式のグラフの交点を求める方法により解を得ている。交点は初期値  $u_0 = m/2v$  と二分法により許容誤差範囲に入るまで搜す。

⑩ 最大処理件数  $v_{max}$  の求め方(極限型モデル)

JDB(電文) 処理件数  $v$  には最大値  $v_{max}$  が存在し、それは  $m, c, \{R_i\}$  を指定すれば定まる値である。 $v_{max}$  は以上求めて来た諸式において、 $u \rightarrow 0$  とした極限型を求ることにより導くことができる。これを極限型モデルとよんでいる。

極限型モデルの諸式は対応する諸式に添字 0 を付けて表記することにする。

$P_0(l) = \lim_{u \rightarrow 0} u^l P(l)$ ,  $T_0(l) = \lim_{u \rightarrow 0} T(l)$  とする。 $l = 1 \sim m$  にて次式が成り立つ。 $P_0(l) = P_0(l-1)T_0(l)$ ,  $P_0(0) = 1$

$$T_0(l) = \sum_{i=1}^l R_i \{ P_0(l-i) + R_i(l-1)P_0(l-2) + R_i^2(l-1)(l-2)P_0(l-3) + \dots + R_i^{l-1}(l-1)!P_0(0) \} / P_0(l-1)$$

この漸化式を用ひ、 $P_0(m)$ ,  $T_0(m)$  を順次求め、それを用ひて以下に示す極限型モデルにおける諸式を得る。

$$v_{max} = m / T_0(m) = m P_0(m-1) / P_0(m)$$

$$\alpha_{oi} = \lim_{u \rightarrow 0} \alpha_i = m R_i P_0(m-1) / P_0(m)$$

$$W_{oi} = R_i \{ R_i(m-1) P_0(m-2) + R_i^2(m-1)(m-2) P_0(m-3) + \dots + R_i^{m-1}(m-1)! P_0(0) \} / P_0(m-1)$$

$$T_0(m) = \lim_{u \rightarrow 0} T(m) = \sum_{i=1}^m \{ R_i + W_{oi} \}, \quad E = m$$

5. ツール化と使用法

QM-1 は、先に示されたモデルから導かれた諸式に従って、性能評価作業に必要な諸量を算出するためのプログラムである。

設計にあたり、このプログラムは、汎用的な性能評価のためのツールとすこだ

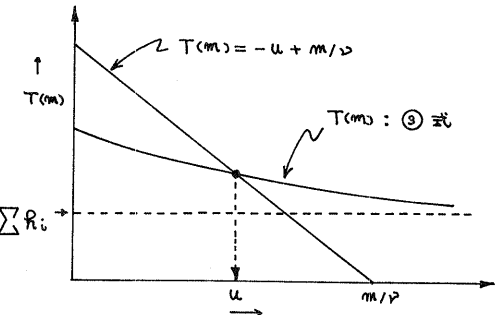


図3 グラフによる  $u$  の求め方

めに、以下の点に留意した。

- ① QM-1 に不慣れな SE も、容易に使用できるツールとすこために、TSS モードでの使用を基本として考え、会話形のデータ入力、カタカナによるメッセージ、入力エラー時の再入力、等を採用した。
- ② 性能評価作業に熟達していない SE が、自己の問題に QM-1 を応用できる様に、入力促進メッセージや、出力様式中で使用する用語は、SE にとってなじみ深く、かつ、できるだけ汎用的な意味をもったもの（タスク、リソース 等）を採用した。
- ③ 計算結果をレポート等としてまとめる際に起き易い転記ミス等を防ぐため出力様式を整えて、出力帳票を切り取って、そのままレポート等へ貼込みる様にした。
- ④ 特定の入力データをパラメータとして、何回も計算を繰返すパターンが大部分であるので、その際に、変更しない入力データの再入力を少なくする様にした。
- ⑤ 計算は、数値として、非常に大きな値と、非常に小さな値を乗算して、最終的に常識的な値に落ちく、といったものがあるのを、計算の手順を考えて、オーバフローやアンダーフローを避けない様にした。
- ⑥ プログラミング言語は、FORTRAN を使用した。

QM-1 の処理概要を、図4 の流れ図に示す。

QM-1 を起動すると、最初にリソースの数 ( $C$ ) を要求して来る。 $C$  を入力すると、 $C$  個のリソースの、それぞれの保留時間 ( $h_1 \sim h_C$ ) の入力を要求する。

$C$  と  $\{h_i\}$  が入力されると、タスクの数 ( $m$ ) を要求してくれる。

$C$ ,  $\{h_i\}$ ,  $m$  が与えられると、QM-1 は極限型モデルを適用して、最大処理件数 ( $M_{max}$ ) 及び、その時の諸量を計算する。計算結果は、次頁に示す、出力様式-1 で出力する。

処理件数 ( $m$ ) の値を変えて計算する場合は、 $m$  を入力すると、その時の  $C$ ,  $\{h_i\}$ ,  $m$  を使って諸量が計算され、計算結果は、次頁に示す、出力様式-2 で出力される。

$m$  の値を変えて計算する場合は、 $m$  を再入力することにより、 $M_{max}$  の値が計算し直される。

また  $C$  または  $\{h_i\}$  の値を変えて計算する時は、 $C$  および  $\{h_i\}$  の値と  $m$  の値を再入力する必要がある。

$C$ ,  $m$ ,  $C$ ,  $\{h_i\}$  の値を変更しな

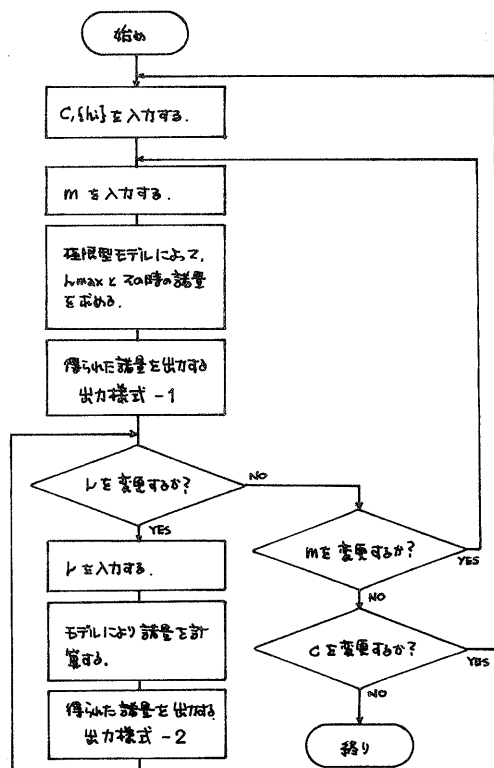


図4. QM-1 の処理の流れ

の場合には、南山以上の計算は必要ないものと見做して、QM-1 は実行を終了する。  
M は 1 から 30 まで、C は 1 から 50 までの値を指定することができる。また  
入力データの時間の単位は、すべて同じである必要がある。（出力データは、その  
時間の単位で計算される。）

なお、出力データ中の、たとえば、 $0.98902D-2$  という表現は、 $0.98902 \times 10^{-2}$   
の意味である。

$\leftarrow C$		$\leftarrow M$	
I	リソース ノ カス" = 4	タスク ノ カス" = 8	タンシ"カン( 和 ) I
I	コノ システム ノ サイタ"イ シヨリケンスウ	= 0.98902D-02	I $\leftarrow D_{max}$ (件/秒)
I	ハイキン シヨリシ"カン (タスク ホリュウシ"カン ノ ハイキンチ)	= 0.80880D+03	I $\leftarrow T(m)$ (秒)
I	タスク コリョウ (ハイキン シヨリシ"カン * シヨリケンスウ)	= 0.80000D+01	I $\leftarrow T(m) \times D_{max}$
I	1 タスク アタリ ノ シヨウリツ (タスク コリョウ / タスク ノ カス")	= 0.10000D+01	I $\leftarrow m$
I			I $\leftarrow T(m) \times D_{max} / m$
I	リソース I ホリュウシ"カン I シヨウリツ I マチシ"カン I		I = 1
I	1(CPU) I 0.98600D+02 I 0.97513D+00 I 0.45079D+03 I		I
I	2(BK1) I 0.51000D+01 I 0.50440D-01 I 0.26699D+00 I		I
I	3(BK2) I 0.66100D+02 I 0.65375D+00 I 0.10410D+03 I		I
I	4(BK3) I 0.46600D+02 I 0.46089D+00 I 0.37318D+02 I		I
	$t_{hi}$ (秒)	$t_{ai}$	$t_{wi}$ (秒)

図 5 出力様式 - 1

$\leftarrow C$		$\leftarrow M$	
I	リソース ノ カス" = 4	タスク ノ カス" = 8	タンシ"カン( 和 ) I
I	シヨリケンスウ = 0.69079D-02		I $\leftarrow J$ (件/秒)
I	ハイキン シヨリシ"カン (タスク ホリュウシ"カン ノ ハイキンチ)	= 0.39232D+03	I $\leftarrow T(m)$ (秒)
I	タスク コリョウ (ハイキン シヨリシ"カン * シヨリケンスウ)	= 0.27101D+01	I $\leftarrow T(m) \times J \times E$
I	1 タスク アタリ ノ シヨウリツ (タスク コリョウ / タスク ノ カス")	= 0.33876D+00	I $\leftarrow T(m) \times J / m$
I			I
I	リソース I ホリュウシ"カン I シヨウリツ I マチシ"カン I		I
I	1(CPU) I 0.98600D+02 I 0.68112D+00 I 0.11662D+03 I		I
I	2(BK1) I 0.51000D+01 I 0.35230D-01 I 0.16690D+00 I		I
I	3(BK2) I 0.66100D+02 I 0.45661D+00 I 0.41199D+02 I		I
I	4(BK3) I 0.46600D+02 I 0.32191D+00 I 0.17935D+02 I		I
	$t_{hi}$ (秒)	$t_{ai}$	$t_{wi}$ (秒)

図 6 出力様式 - 2

## 6. QM-1 使用例題

理解の助けとするため例題を示すことにする。あるパッチ処理システムを考えることにする。システム分析の結果（図 7）に示された如くの平均的丁口日特性が得られたとする。CPU を資源 1 とし、ディスク 装置 (1), (2), (3) を各々資源 2~4 に対応させる。 $C = 4$ ,  $R_1 = 98.6$  秒,  $R_2 = 5.1$  秒,  $R_3 = 66.1$  秒,  $R_4 = 44.6$  秒

をパラメータとして QM-1 に入力する。m を指定すると(図 5)の如くの出力様式-1 に従って出力してくれる。この後、出力された  $\gamma_{max}$  以下の m を指定すれば(図 6)の出力様式-2 に従って出力を行なう。

マルチプロセッシングの最大多密度 m をパラメータとして変化させた時の最大処理件数(スループット)  $\gamma_{max}$  及び JDB 处理時間の値  $T_0(m)$  の関係を(図 8)に示す。

m が増加すると、 $\gamma_{max} \rightarrow 3600 / 98.6 = 36.5$  附近で様子がわかる。この時、 $T_0(m)$  は増加の一途をたどる。

(図 9) にマルチプロセッシング多密度と各装置の使用率の関係を示す。

(図 10) に m の増加にともなう待ち時間の発生状況と JDB 处理時間  $T_0(m)$  の増加状況を示す。次の点には注意が必要である。

$m_1 < m_2$  に対して、 $\gamma_{max}(m_1) < \gamma_{max}(m_2)$  であるが、 $\gamma$  を定めた時には  $T(m_1) < T(m_2)$  なる関係にある。但し、 $\gamma \leq \gamma_{max}(m_1)$ 。

#### 7. 運用と実績

QM-1 は、現在 ACOS-6 により運営されている共同利用計算センタである NEIS 東京分院計算センタ(田町), NTIS ACOS センタ(新宿)の 2ヶ所に TSS 内コマンドとして登録されている。利用者はセンタがクローズ運転されている時間帯に回線を介して端末から任意のセンタの QM-1 を自由に呼び出して利用することができる。

TSS のコマンドとして一般開放しているため使い方や使用実績を正確に把握する。

表 1. QM-1 使用例

No.	DS, 処理形態	システム概要	評価目的	評価ケース	資源数 C
1	ACOS-6, TPS, DB	帳票処理(官庁)	詳細設計時評価	+ 数ケース	28
2	〃, TDS, DB	バンキング	基本設計時評価	約 20	20
3	〃, TPS, BAT, RJE, TSS	計算センタ, 多次元処理	実動中, 負荷の増加	20 ~ 30	21
4	〃, BAT, TPS, DB	生産管理, 製造業(鉄鋼)	実動中, グレードアップ時評価	約 100	24
5	〃	電文集配信, 帳票処理(官庁)	ロボホーリ作成	約 100	25
6	〃, TDS, DB	帳票処理, 保険業	客先への質問回答書作成	50 ~ 60	42
7	〃, TDS, DB	バンキング	基本設計時評価	5 ~ 6	20
8	ACOS-4	バンキング	実動中, グレードアップ時評価	10	10
9	DIPOS-II, 104-01, 160-20 RTP	自動車情報管理システム	詳細設計, 設計パラメータの検証	20 ~ 30	16

(\*) TPS, TDS : オンライン管理用サブシステム, DB : データベース

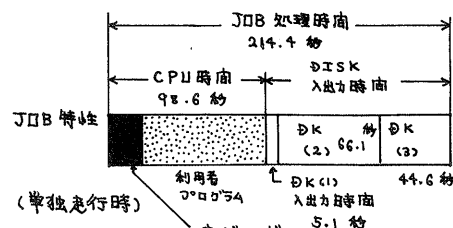


図 7. JDB 特性

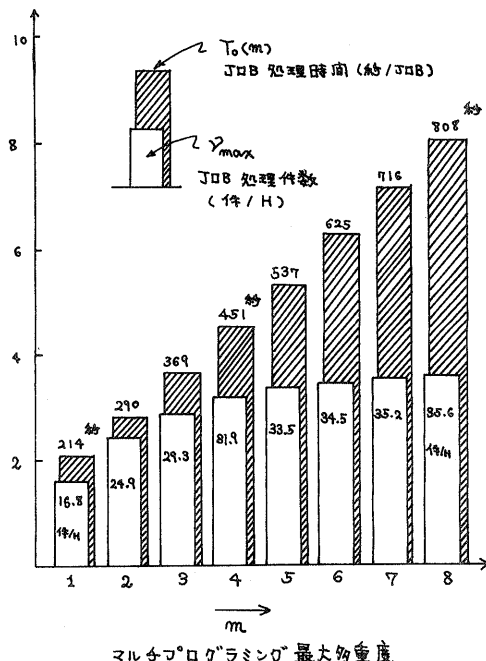


図 8. JDB 处理件数と JDB 处理時間

ことは困難であるが、本年4月中旬に一般開放して以来現在(8月中旬)までの間に GM-1 を利用した使用例のうち使用内容があつて度めかっているものを9例とりあげ、その使用法や目的、この値や流したケース数等を(表1)に示す。

これによると、機種や OS、処理形態を越えて使われてあり、使用目的もさまざまであるが、かなりはば広く使われ方をしているようである。

ちなみに、手計算でやるとこれが20位では慣れた人が1ケース分の計算に約3日程度電卓をたたく計算量になる。

GM-1 の算出する理論値と実システムで計測される実測値がどの程度合つかものなのか興味深い。一例を文献(3)に示したが、装置使用率で2~3% 程度の誤差

である。しかし、同一の環境を整え本当に意味のある比較を行なうのは案外むずかしいものである。

実測値と理論値のズレの発生原因は、基礎となるデータが異なるでない場合とモデル自身の現実からずれ、とりわけ2つの異なる原因により生ずるが、実際の評価では面看は混然一体となつており、どちらがどの程度影響しそうのか判然としない場合の方が多い。

#### 8. ネットワーク型待ち行列モデルとの比較

文献(7)に示されるネットワーク型待ち行列モデル(G/N モデル)と本モデルとの相異について示す。

多重度1 多重度3 多重度6

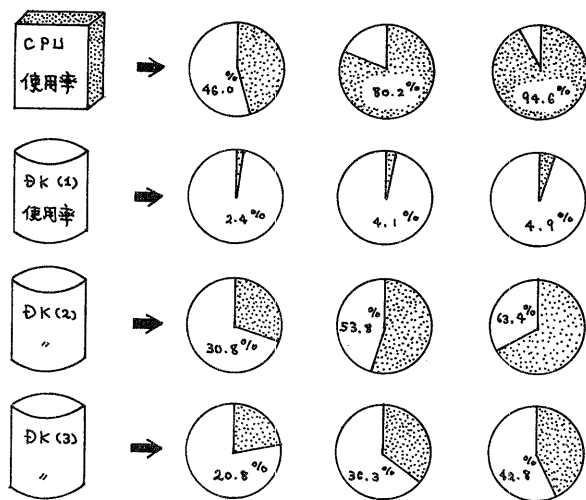


図9 マルチプログラミング 多重度と各装置使用率

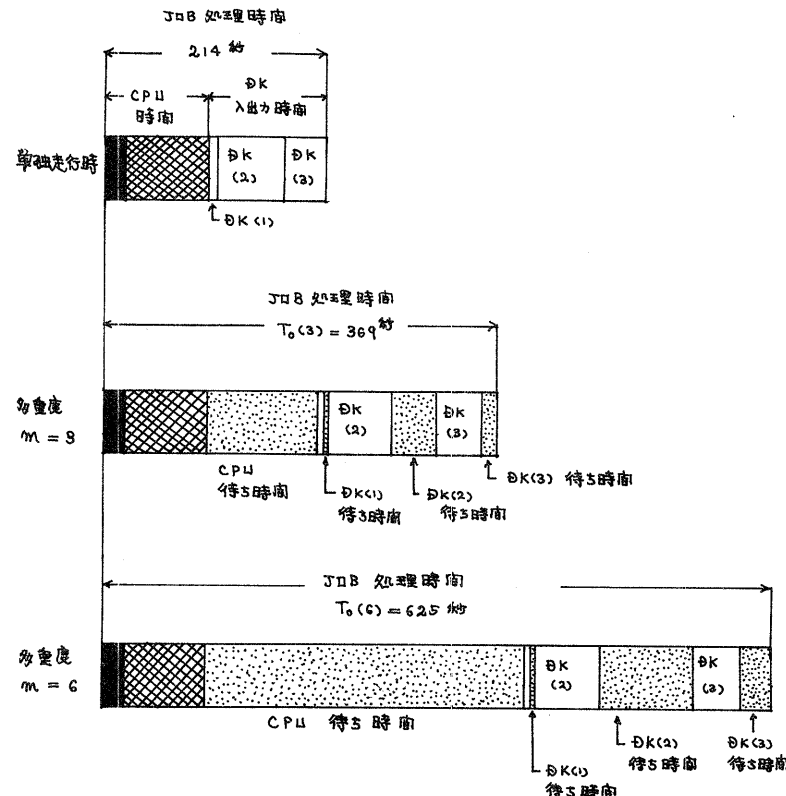


図10. 多重度の増加による待ち時間の発生

大雑把に言えば G/N モデルは、 $U \rightarrow 0$ とした QM-1 の複数型モデルに対応している。この時、 $P_{ij} = \lambda_j / \lambda_i$ 。G/N モデルは故障に対する人の修理エラーが存在する待列構造を許すのに対し、この点モード化に柔軟性がある。反面、 $U \rightarrow 0$  で呼空隙時間の概念が入っておらず（機械は常に故障している）、任意の処理件数を指定した時の稼動状況が示せない。また、JDB(電文)の概念が入っていないので  $\{R_i\}$  を直接は扱えず、 $M_i, P_{ij}$  といういささか机いにくいパラメータを陽に扱わねばならぬ、といった点が性能評価向けに使用する場合には弱い点である。

#### 9. まとめ

QM-1 のツール化に際しては何よりも使い勝手が良く大衆的なツールとなるよう心掛けた。短期間の設計製造之意に満たぬ点も多いかが、幸い利用者からは好評をいただいており、奥義者一同の喜びとするところである。

なお、QM-1 には姉妹品として QM-3 が存在しており、QM-1 同様 TSS コマンドとして登録されて利用されている。QM-3 はオンライン系の応答時間の平均値や分布を QM-1 に連動させて出力する性能評価ツールである。QM-3 では、ホスト内の電文処理時間  $T(M)$  を QM-1 と同様に計算し、さらに業務処理タスクの前にべき子待ちを  $M/M/m$  タスク呼量  $\alpha = \gamma T(M)$  として算出し、これに基き応答時間の平均値と分布を QM-1 の出力結果に合わせて出力する。

QM-1 の今後の課題としては、メモリ評価考慮のモデルと連動させること、呼源を多種類にすること、資源の多重保留が扱えるようにすること、呼に優先权を付与すること、等の要請に応えていくこととなる。

最後に、QM-1 の作成を企画し、その完成まで数々の援助をいただいた、当部 金森吾一主任、有益な助言をいただいた守田節太郎氏、並びに QM-1 を使用し貴重な御意見、感想を寄せられた当社各システム事業部の SE 諸氏に感謝の意を表します。

#### [参考文献]

- 1) T. L. Saaty ; Elements of Queueing Theory, McGraw-Hill, 1961.  
P. 330 ~ 332.
- 2) 鈴一誠 ; マルチプロセッサシステムにおけるメモリサイクル競合問題の解析, 情報処理学会第14回全国大会, 1973.
- 3) 新田, 伊達, 鈴一 ; TSSにおける性能評価のためのソフトウェア・メタリング, 電気学会情報処理研究会資料, IP-73-19, 1973.
- 4) 原藤寧造, 根本良子 ; オンライン評価システム(CATOM)について, 情報処理学会第14回全国大会, 1973.
- 5) 池原悟 ; CQNM の口づけ使用法, 口R学会, 計算機システムと確率モデル研究会資料, DOSMOS-241, 1977.
- 6) M. Reiser ; "Interactive modeling of Computer Systems", IBM SYSTEMS, No. 4, 1976.
- 7) Gordon, W. J and Newell, G. F. ; "Closed Queueing Systems with Exponential Servers", JORSA, 15 (1967), 245 ~ 265
- 8) 犀谷義一 ; 電話交換トライック, オーム社, 昭41.
- 9) 三上, 箱崎, 廣野 ; 計算機システムの性能評価技術 I, II, III, 信学誌, 第59巻 10号, 12号.